



**Universidade Federal do Espírito Santo  
Centro Tecnológico  
Departamento de Engenharia Elétrica  
Robótica Móvel**

**Semestre 2020/02(EARTE)**

**Segunda Prova Parcial**

**Aluno(s):** Dayvson Leandro Araujo Silva

**Professor:** Mario Sarcinelli Filho

Outubro de 2021

## **Sumário**

<b>Introdução</b>	<b>3</b>
<b>Desenvolvimento</b>	<b>4</b>
<b>Resultados e Discussão</b>	<b>8</b>

## 1. Introdução

O controle de trajetória descrito neste relatório teve como base para desenvolvimento das simulações dois robôs aéreos, do tipo quadrimotor (Parrot Bebop 2), representado na figura 1. O desenvolvimento das simulações foi realizado utilizando Python e bibliotecas básicas para realização de cálculos e plotagem de gráficos.

A figura 1 representa uma formação VANT-VANT e suas variáveis, sendo que neste exemplo o VANT1 assume a função de base da formação, portanto todos os cálculos desenvolvidos nas simulações considera a posição da formação  $(x_f, y_f, z_f)$  igual a posição do VANT1  $(x_1, y_1, z_1)$ .

Fonte: Adaptado das apresentações de aula

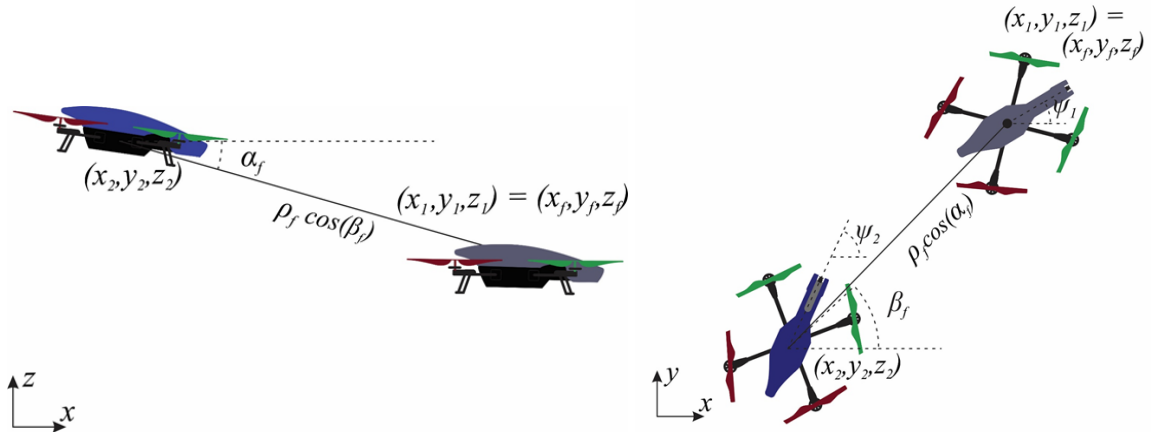


Figura 1 - representação gráfica simplificada formação VANT-VANT

Onde:

$(x_f, y_f, z_f)$  - Coordenadas do robô de referência da formação;

$\rho_f$  - Distância entre robôs da formação;

$\alpha_f$  - Ângulo entre  $\rho_f$  e o plano  $xy$  do sistema de coordenadas global;

$\beta_f$  - Ângulo entre a projeção de no plano  $xy$  e o eixo  $x$ ;

$(x_1, y_1, z_1)$  - Posição do VANT 1

$(x_2, y_2, z_2)$  - Posição do VANT 2

Para fins de desenvolvimento das equações os valores da formação são representados pelo vetor  $\mathbf{q} = (x_f, y_f, z_f, \rho_f, \alpha_f, \beta_f)$ ,

As simulações foram divididas em duas etapas, a primeira consiste em utilizar apenas as características cinemáticas do robô, já a segunda também leva em conta as características dinâmicas do robô.

## 2. Desenvolvimento

Para a modelagem do controlador solicitado foi utilizado uma abordagem de modularização da solução seguindo a lógica de definição de entradas, saídas e parâmetros necessários para o desenvolvimento, baseado no modelo multicamadas apresentado em aula.

Fonte: Adaptado das apresentações de aula

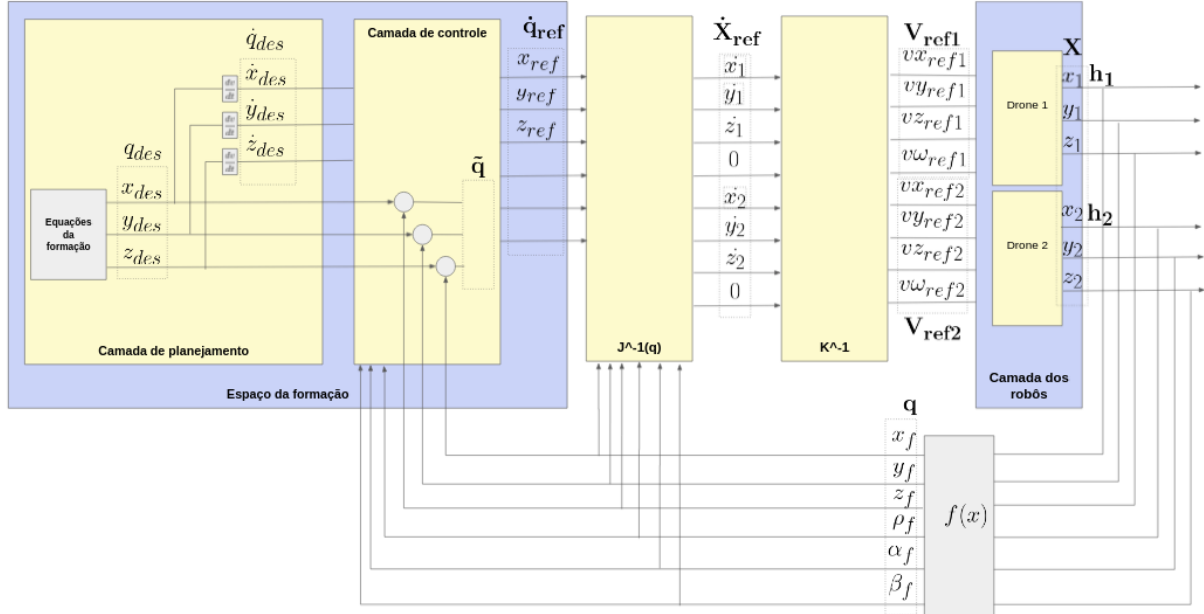


Figura 2 - Modelo multicamadas detalhado

### a. Espaço da formação

#### i. Camada de planejamento

O primeiro bloco do sistema é responsável por gerar a trajetória(2) e as velocidades(3) da formação solicitada na aplicação, as entradas do bloco são as equações(1) que descrevem o caminho que a formação deverá percorrer, a partir das equações são gerados os vetores  $q_{des}$  e  $\dot{q}_{des}$ , onde  $\dot{q}_{des}$  é encontrado a partir da derivada de  $q_{des}$ .

Entradas:

$$\begin{aligned} x_f &= 3 + 5\cos(3t) \\ y_f &= 3 + 5\cos(3t) \\ z_f &= 20 \end{aligned} \quad (1)$$

Saídas:

$$q_{des}(x_{des}, y_{des}, z_{des}) \quad (2)$$

$$\dot{q}_{des}(\dot{x}_{des}, \dot{y}_{des}, \dot{z}_{des}) \quad (3)$$

#### ii. Camada de controle

Após a definição do caminho desejado e da velocidade desejada da formação, são realizadas as operações para gerar as velocidades de referências da formação.

Entradas:

$$q_{des}(x_{des}, y_{des}, z_{des}) \quad (2)$$

$$\dot{q}_{des}(\dot{x}_{des}, \dot{y}_{des}, \dot{z}_{des}) \quad (3)$$

$$q(x_f, y_f, z_f, \rho_f, \alpha_f, \beta_f) \quad (4)$$

Saídas:

$$\dot{\mathbf{q}}_{ref}(\dot{x}_{ref}, \dot{y}_{ref}, \dot{z}_{ref}, \dot{\rho}_{ref}, \dot{\alpha}_{ref}, \dot{\beta}_{ref})$$

Para iniciar, deve-se encontrar o erro entre o  $\mathbf{q}_{des}$  e o  $\mathbf{q}$ .

$$\tilde{\mathbf{q}} = \mathbf{q}_{des} - \mathbf{q} \quad (4)$$

Dando continuidade, para encontrar  $\dot{\mathbf{q}}_{ref}$ , é utilizado a equação(5), nela é aplicado a tangente hiperbólica para limitar os valores máximos de aceleração.

$$\dot{\mathbf{q}}_{ref} = \dot{\mathbf{q}}_{des} + \mathbf{L}_1 \tanh(\mathbf{L}_2) \tilde{\mathbf{q}} \quad (5)$$

onde:

$\dot{\mathbf{q}}_{ref}$  - Vetor de velocidades linear e angular aplicada na formação;

$\dot{\mathbf{q}}_{des}$  - Vetor de velocidades linear e angular desejadas para a formação;

$\mathbf{L}_1$  - Matriz diagonal com constantes de ganho proporcional;

$\mathbf{L}_2$  - Matriz diagonal com constantes de ganho derivativos;

$\tilde{\mathbf{q}}$  - Diferença entre trajetória desejada e trajetória real.

#### b. Matriz Jacobiana

Neste bloco são desenvolvidas operações(6) para encontrar o vetor de velocidades do veículo.

$$\dot{\mathbf{X}}_{ref} = \mathbf{J}^{-1}(\mathbf{q}) \dot{\mathbf{q}}_{ref} \quad (6)$$

Onde:

$\mathbf{J}^{-1}(\mathbf{q})$  - Matriz Jacobiana que relaciona as variações temporais da formação  $\dot{\mathbf{q}}_{ref}$  e as velocidades  $\dot{\mathbf{X}}_{ref}$  dos robôs no sistema global de coordenadas;

$$\mathbf{J}^{-1}(\mathbf{q}) = \begin{bmatrix} 1 & 0 & 0 & 0 & 0 & 0 \\ 0 & 1 & 0 & 0 & 0 & 0 \\ 0 & 0 & 1 & 0 & 0 & 0 \\ 1 & 0 & 0 & \cos(\alpha_f)\cos(\beta_f) & -\rho_f \sin(\alpha_f)\cos(\beta_f) & -\rho_f \cos(\alpha_f)\sin(\beta_f) \\ 0 & 1 & 1 & \cos(\alpha_f)\sin(\beta_f) & -\rho_f \sin(\alpha_f)\sin(\beta_f) & -\rho_f \cos(\alpha_f)\cos(\beta_f) \\ 0 & 0 & 1 & \sin(\alpha_f) & \rho_f \cos(\alpha_f) & 0 \end{bmatrix} \quad (7)$$

$\dot{\mathbf{q}}_{ref}$  -

Para completar o  $\dot{\mathbf{X}}_{ref}$ , é adicionado zeros para que representam as velocidades de guinada.

$$\dot{\mathbf{X}}_{ref} = [\dot{x}_1, \dot{y}_1, \dot{z}_1, 0, \dot{x}_2, \dot{y}_2, \dot{z}_2, 0] \quad (8)$$

#### c. Cinemática inversa da formação

Nesta etapa é definida a cinemática inversa da formação para que possa ser possível calcular as velocidade lineares e angulares dos drones da formação(12)(13),

$$\mathbf{V}_{ref} = \mathbf{K}^{-1} \dot{\mathbf{X}}_{ref} \quad (9)$$

Onde:

$$\mathbf{k}^{-1} = \begin{bmatrix} \cos(\psi) & \sin(\psi) & 0 & 0 & 0 & 0 & 0 & 0 \\ -\sin(\psi) & \cos(\psi) & 0 & 0 & 0 & 0 & 0 & 0 \\ 0 & 0 & 1 & 0 & 0 & 0 & 0 & 0 \\ 0 & 0 & 0 & 1 & 0 & 0 & 0 & 0 \\ 0 & 0 & 0 & 0 & \cos(\psi) & \sin(\psi) & 0 & 0 \\ 0 & 0 & 0 & 0 & -\sin(\psi) & \cos(\psi) & 0 & 0 \\ 0 & 0 & 0 & 0 & 0 & 0 & 1 & 0 \\ 0 & 0 & 0 & 0 & 0 & 0 & 0 & 1 \end{bmatrix} \quad (10)$$

$$\dot{\mathbf{X}}_{\text{ref}} = [\dot{x}_1, \dot{y}_1, \dot{z}_1, 0, \dot{x}_2, \dot{y}_2, \dot{z}_2, 0] \quad (8)$$

Por sua vez,  $\mathbf{V}_{\text{ref}}$  é dividido em duas partes,  $\mathbf{V}_{\text{ref1}}$  e  $\mathbf{V}_{\text{ref2}}$ .

$$\mathbf{V}_{\text{ref1}} = [v_{x_{\text{ref1}}}, v_{y_{\text{ref1}}}, v_{z_{\text{ref1}}}, v_{\omega_{\text{ref1}}}] \quad (12)$$

$$\mathbf{V}_{\text{ref2}} = [v_{x_{\text{ref2}}}, v_{y_{\text{ref2}}}, v_{z_{\text{ref2}}}, v_{\omega_{\text{ref2}}}] \quad (13)$$

#### d. Camada dos robôs

Nesta etapa será apresentada o modelo matemático dos robôs aéreos, do tipo quadrimotor (Parrot Bebop 2) que compõem a formação.

Foram desenvolvidas duas simulações, a primeira utilizando um modelo matemático simplificado considerando apenas a cinemática de um drone genérico(14), a segunda simulação utilizou o modelo completo(15) do Parrot Bebop 2.

$$\dot{\mathbf{x}}^w = \begin{bmatrix} \dot{x}^w \\ \dot{y}^w \\ \dot{z}^w \\ \dot{\psi}^w \end{bmatrix} = \begin{bmatrix} \cos \psi^b & -\sin \psi^b & 0 & 0 \\ \sin \psi^b & \cos \psi^b & 0 & 0 \\ 0 & 0 & 1 & 0 \\ 0 & 0 & 0 & 1 \end{bmatrix} \begin{bmatrix} u_{v_x} \\ u_{v_y} \\ u_{v_z} \\ u_{v_\psi} \end{bmatrix} \quad (14)$$

$$\ddot{\mathbf{X}} = \mathbf{f}_1 \mathbf{U} - \mathbf{f}_2 \dot{\mathbf{X}}$$

$$\text{onde } \ddot{\mathbf{X}} = \begin{bmatrix} \ddot{x} \\ \ddot{y} \\ \ddot{z} \\ \ddot{\psi} \end{bmatrix}, \mathbf{U} = \begin{bmatrix} u_{v_x} \\ u_{v_y} \\ u_{v_z} \\ u_{v_\psi} \end{bmatrix}, \dot{\mathbf{X}} = \begin{bmatrix} v_x \\ v_y \\ v_z \\ \dot{\psi} \end{bmatrix}, \mathbf{f}_1 = \begin{bmatrix} K_1 \cos \psi & -K_3 \sin \psi & 0 & 0 \\ K_1 \sin \psi & +K_3 \cos \psi & 0 & 0 \\ 0 & 0 & K_5 & 0 \\ 0 & 0 & 0 & K_7 \end{bmatrix} \mathbf{e}$$

$$\mathbf{f}_2 = \begin{bmatrix} K_2 \cos \psi & -K_4 \sin \psi & 0 & 0 \\ K_2 \sin \psi & +K_4 \cos \psi & 0 & 0 \\ 0 & 0 & K_6 & 0 \\ 0 & 0 & 0 & K_8 \end{bmatrix},$$

(15)

Para  $f_1$  e  $f_2$  são resultados da multiplicação de  $K_u$  e  $K_v$  por  $F$ , que é a representação do modelo cinemático do drone. Para  $k_u$  e  $k_v$  foi utilizado os parâmetros apresentados nas aulas sendo  $k_1=0.8417$ ,  $k_2=0.18227$ ,  $k_3=0.8354$ ,  $k_4=0.17095$ ,  $k_5=3.966$ ,  $k_6=4.001$ ,  $k_7=9.8524$  e  $k_8=4.7295$ .

$$\begin{aligned} f_1 &= F k_u \\ f_2 &= F K v \end{aligned} \quad (16)$$

Onde:

$$k_u = np.diag([k_1, k_3, k_5, k_7]) / k_v = np.diag([k_2, k_4, k_6, k_8]) \quad (17)$$

$$F = \begin{bmatrix} \cos(\psi) & -\sin(\psi) & 0 & 0 \\ \sin(\psi) & \cos(\psi) & 0 & 0 \\ 0 & 0 & 1 & 0 \\ 0 & 0 & 0 & 1 \end{bmatrix} \quad (18)$$

### 3. Resultados e Discussão

Foram realizadas duas simulações distintas, a primeira considerou um modelo cinemático genérico para o drone, a segunda considerou o modelo matemático completo do Parrot Bebop 2.

#### a. Resultados da solução com controlador cinemático

O primeiro desenvolvimento utilizou apenas o modelo cinemático, porém foi observado as velocidades máximas permitidas para o drone.

```
L1 = np.diag([0.5, 0.5, 1, 0.5, 0.5, 0.5])  
L2 = np.diag([1, 1, 1, 1, 1, 1])
```

Fonte: autoria própria

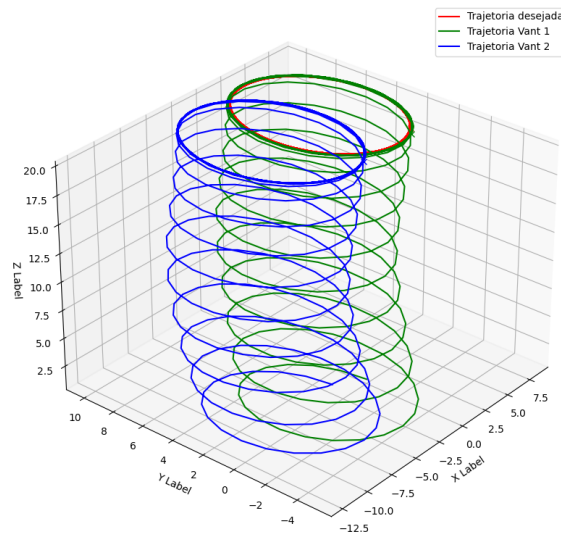


Figura - Gráfico 3D da trajetória planejada e executada

Fonte: autoria própria

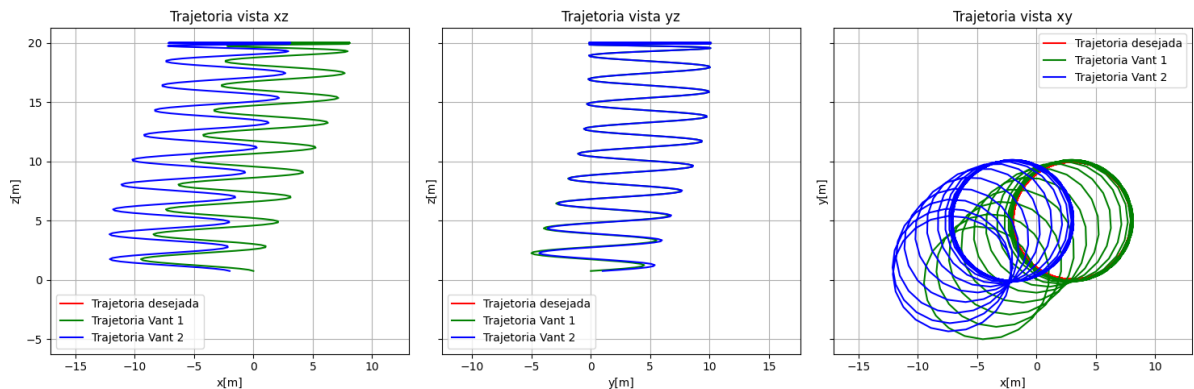


Figura - Vistas 3D projetadas em 2d



A trajetória desejada para a formação e a trajetória executada apresentou divergência apenas no início da simulação devido a diferença nos pontos iniciais dos VANTs 1 e 2 em relação à trajetória desejada.

Fonte: autoria própria

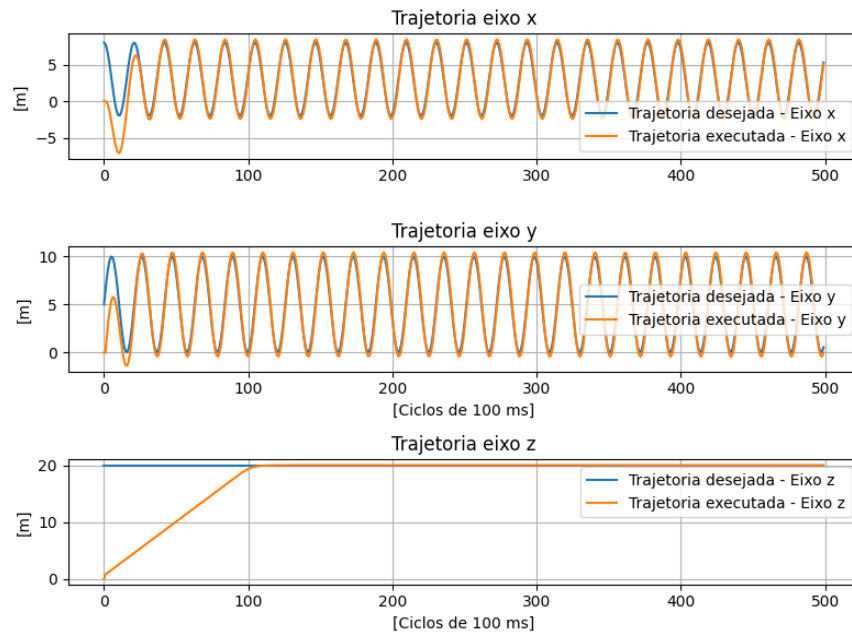


Figura - Trajetória desejada da formação e trajetória ejecutada

Por se tratar de um controle cinemático, as velocidades reais da simulação refletem instantaneamente os valores comandados. Um detalhe a ser observado é que a velocidade no eixo z vai a zero quando a formação chega a altitude, porém segue um formato suavizado devido a aplicação da tangente hiperbólica no controle da formação.

Fonte: autoria própria

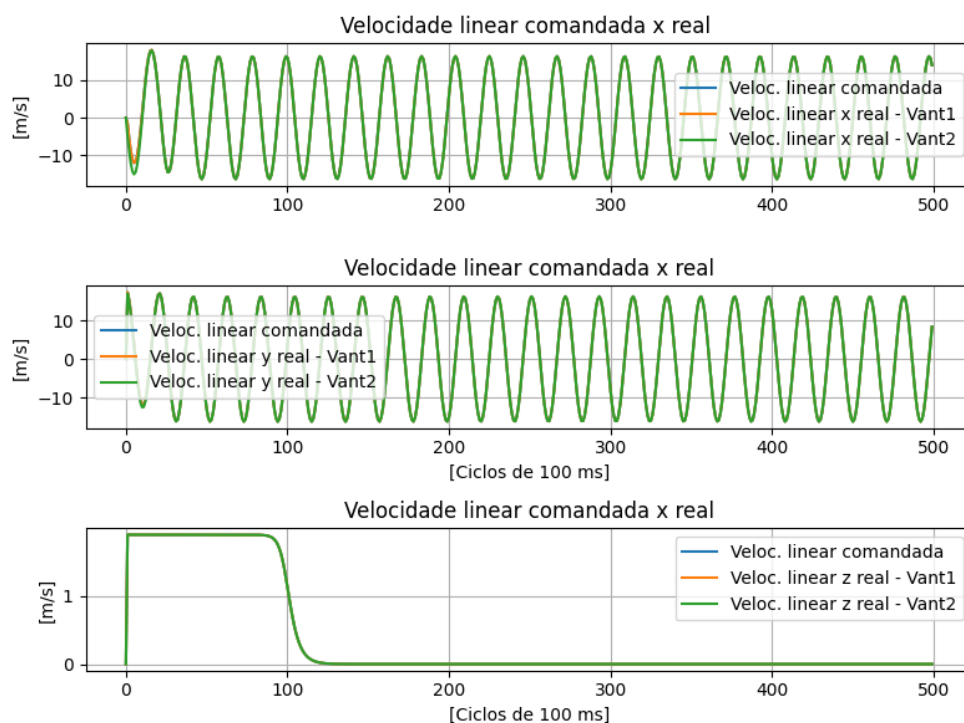
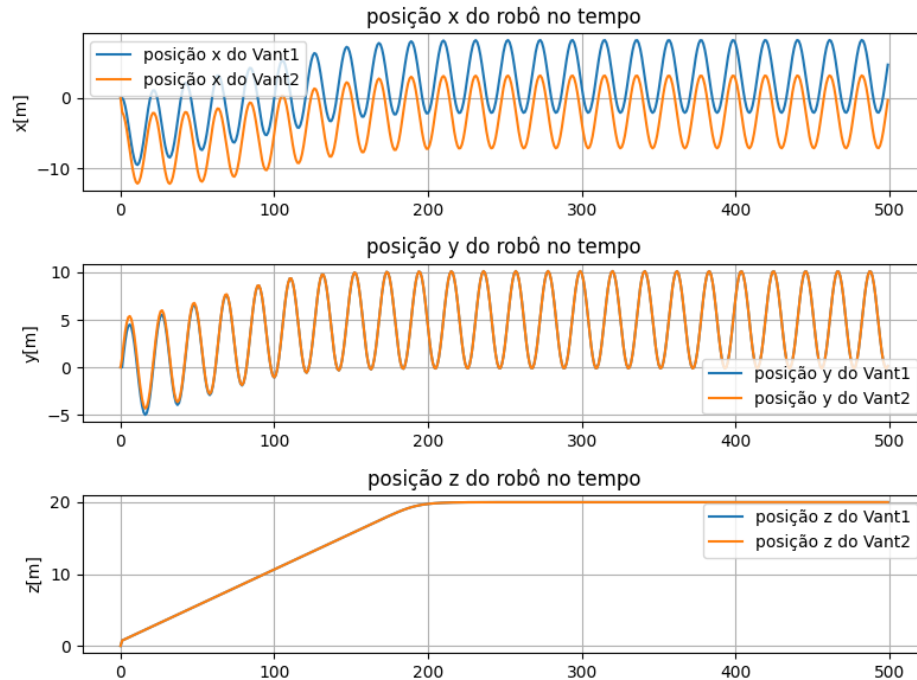


Figura - Velocidades comandada x real nos eixos x, y e z

O gráfico de posição comparando os dois VANTS da formação apresentam divergências apenas no eixo x, isso ocorre devido a  $\alpha_f = 0$  e  $\beta_f = 0$ , portanto, o ângulo entre  $\rho_f$  e o plano  $xy$  do sistema de coordenadas global deve ser zero e o ângulo entre a projeção de no plano  $xy$  e o eixo  $x$  também deve ser zero.

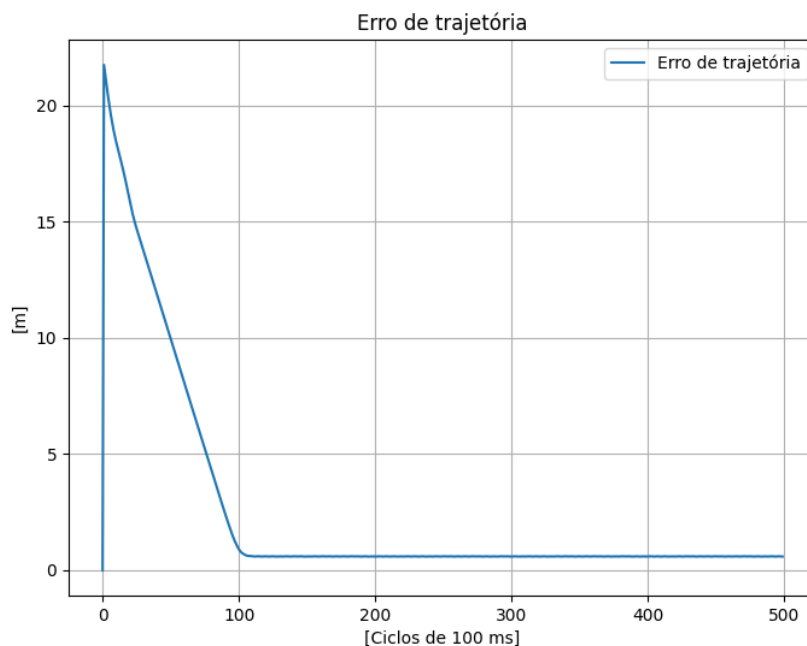
Fonte: autoria própria



**Figura - Posição do robô no tempo**

A formação apresenta um erro considerável logo no início da formação devido ao fato de que a trajetória desejada possui altitude fixa em  $z=20$ , portanto o erro tende a zero quando a formação atingir a altitude da trajetória desejada.

Fonte: autoria própria



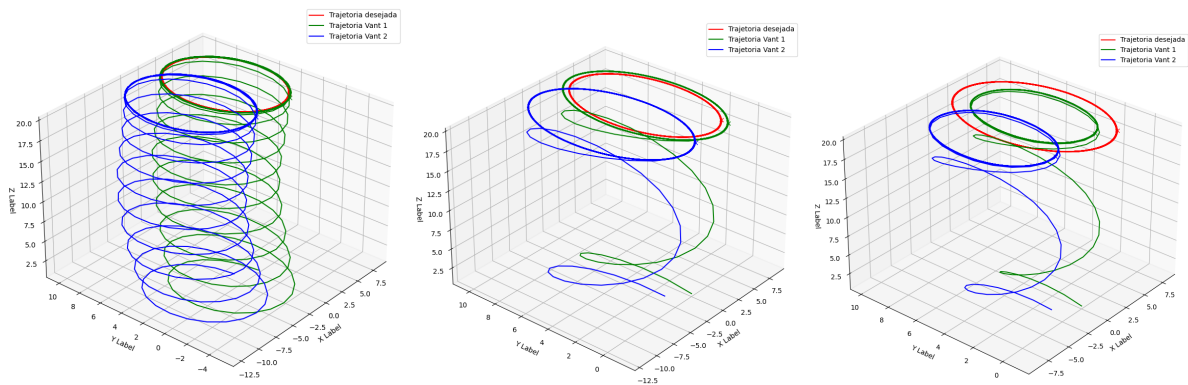
**Figura - Erro de trajetória no tempo da simulação**

## b. Resultados da solução modelo simplificado x completo( Cinemático + dinâmico)

Apesar da implementação do modelo matemático completo para os VANTS, os resultados da simulação foram idênticos divergindo apenas no tempo necessário para a formação chegar a altitude Z.

Como complemento da simulação foram aplicados ganhos 6x maiores que os ganhos aplicados inicialmente.

Fonte: autoria própria



Fonte: autoria própria(a)(b)(c)

Figura - Gráfico 3D da trajetória planejada e executada comparativo

Inicialmente foram implementados ganhos reduzidos(1), utilizando o modelo simplificado do drone apresentado na seção 2 item d, como resultado a formação levou um tempo relativamente alto para chegar em  $z_f=20$ , porém, nesta aplicação a trajetória da formação percorreu a trajetória desejada com um erro mínimo após chegar na altitude desejada. Com a aplicação de novos valores de ganhos( $L1 = [3,3,3,6,3,3,3]$ ) ainda com o modelo matemático simplificado foi a formação chegou a  $z=20$  em um tempo inferior(b), porém apresentou divergência entre a trajetória desejada e a executada, o erro ficou mais evidente ainda quando foram aplicados os novos ganhos com a utilização do modelo matemático completo(c), devido ao fato de não ter sido aplicado um controlador dinâmico a simulação, esse erro poderá ser reduzido e tender a zero caso se aplique o conjunto de controlador cinemático e dinâmico ao controle de formação.